

تعیین محدوده‌های بیوکلیماتیک شهر مشهد بر مبنای داده‌های ساعتی

* رضا اسماعیلی: استادیار اقلیم شناسی، دانشگاه آزاد اسلامی واحد مشهد، مشهد، ایران

مجید متظیری: استادیار اقلیم شناسی، دانشگاه آزاد اسلامی واحد نجف آباد، نجف آباد، ایران

وصول: ۱۳۹۰/۰۴/۱۹ پذیرش: ۱۳۹۰/۱۱/۲۳، صص ۲۱۵-۲۳۰

چکیده

شانص زیست اقلیم دمای معادل فیزیولوژیک (PET) جزء شاخص‌های ترموفیزیولوژیک است که از معادله بیلان حرارتی بدنه انسان مشتق می‌گردد. این شاخص از پرکاربردترین‌ها در زمینه ارزیابی‌های زیست اقلیم محسوب می‌گردد. در تحقیق حاضر محدوده‌های بیوکلیماتیک شهر مشهد برای ساعت ۰۹:۳۰ و ۲۱:۳۰ UTC (با مطابق ۰۹:۳۰ و ۲۱:۳۰ به وقت محلی) و بر اساس داده‌های اقلیمی دوره ۲۰ ساله (۱۳۶۸-۱۳۸۷) مورد ارزیابی قرار گرفته است. علاوه بر ارزیابی زیست اقلیمی (آسایش اقلیمی، استرس گرمایی و سرمایی) فراوانی و قوع پدیده‌های فیزیکی (مثل بارش، بیخندان، طوفان...) و زیبا شناختی (شامل ابرناکی، شرایط آفتاب) که بر آسایش اقلیمی تاثیر گذارند نیز محاسبه شده است. بر اساس نتایج بدست آمده، دوره آسایش اقلیمی ساعت ۰۹:۳۰ و ۱۵:۳۰ شهر مشهد در دو بازه زمانی واقع شده است دوره اول در ابتدای فصل بهار و دوره دوم آن در اوایل فصل پائیز واقع شده است که دوره اول آن طولانی تر است. دوره آسایش ساعت ۲۱:۳۰ بصورت پیوسته در تیر و مرداده ماه واقع شده است. در مجموع تعداد روزهای همراه با آسایش (۲۳< PET <۲۴) برای ساعت ۰۹:۳۰، ۱۵:۳۰ و ۲۱:۳۰ به ترتیب ۴۶ و ۳۸ و ۵۹ روز به دست آورده شده است. تعداد روزهای همراه با تنش سرمایی (۱۸< PET <۱۹) در ساعت مطالعه شده بترتیب، ۱۶۹، ۱۶۸ و ۳۰ روز می‌باشد. بیشترین تنش‌های گرمایی (PET>23) در ساعت ۱۵:۳۰ (۱۵۰ روز) و بعد از آن ساعت ۹:۳۰ (۱۳۹ روز) اتفاق می‌افتد. ساعت ۲۱:۳۰ فاقد تنش‌های گرمایی است.

واژه‌های کلیدی: دمای معادل فیزیولوژیک، اقلیم آسایشی، بیوکلیماتیک، معادله بیلان حرارتی، زیست اقلیم شهر مشهد

فعالیت‌های علمی و تخصصی در این زمینه طی

دهه‌های اخیر، علم زیست اقلیم شناسی انسانی را به وجود آورده است. این علم شاخه جدیدی از علم اقلیم شناسی است که از همکاری علوم زیست شناسی انسانی و اقلیم شناسی کاربردی تشکیل و توسعه یافته است (اسماعیلی و همکاران، ۱۳۹۰، ۴۲). هدف از این علم ارزیابی تاثیرات هوا و اقلیم بر روی موجودات زنده بخصوص انسان است (کاویانی: ۱۳۷۲).

انسان‌ها از گذشته دور علاقمند به دستیابی به اطلاعاتی در زمینه تاثیر اقلیم بر جسم و روان خود بودند، بقراط در ۲۵ قرن قبل از میلاد، هیپوکراتیس در ۲۵۰۰ سال پیش (Matzarakis, 2007, 140) و جرجانی و ابن سينا بترتیب در قرون او ۱۱ هجری مطالعاتی را در این زمینه صورت داده‌اند.

(استیدمن^۳، ۱۹۷۹) است که غالباً تجربی و اثبات نشده‌اند. دسته دوم شاخص‌های ترکیبی و بیوکلیماتیکی مثل شاخص اولگی^۴ (۱۹۷۳) ترجونگ^۵ (۱۹۶۸) و شاخص^۶ TCI (۱۹۸۵) هستند که تعداد بیشتری از متغیرهای اقلیمی را لحاظ می‌کنند. در نهایت دسته سوم شاخص‌های دما- فیزیولوژیک^۷ که از معادله انرژی بدن انسان مشتق می‌شوند و به عنوان کاملترین شاخص‌ها شناخته می‌شوند (اسماعیلی، ۱۳۹۰، ۳۴). از جمله معروف‌ترین این PMV^۸ دسته از شاخص‌ها می‌توان به^۹ PET و^{۱۰} (Gagge^{۱۱}، Matzarakis et al, 1999) (VDI, 1998) Dear, 2003) Out_SET get al., 1986) SET (Spangolo and

علاوه بر ضرورت بکارگیری شاخص‌های جامع و کامل در زیست اقلیم شناسی استفاده از مقیاس زمانی ریز (مثل روزانه یا ساعتی) دارای اهمیت ویژه‌ای در بکارگیری بهتر نتایج می‌باشد. بررسی منابع علمی در ایران نشان می‌دهد علی‌رغم فراوانی تحقیقات در این زمینه، غالب تحقیقات صورت گرفته شده با استفاده از شاخص‌های قدیمی و ترکیبی مثل اولگی و گیونی (کسمایی، ۱۳۶۹) ترجونگ (کاویانی، ۱۳۷۲) TCI (فرج زاده و علی‌آبادی، ۱۳۸۸) و غیره است که در

بکارگیری اطلاعات زیست اقلیم در زمینه‌های علوم کاربردی از قبیل، معماری و طراحی شهری K. at al, 2010,319 (Gulyas at al,2005,1713) (Hwang at al,2011,5 (Vanoss Jendritzky and .17) (Thorsson,2004,149) Lin and (Tinz,2009, 171 Matzarakis,2001,) (matzarakis ,2011,492 (Lin. at al ,2010,319) (Shiue & Matzarakis, 2010, 54,) (Amelung, 2009, 550) و غیره بسیار مورد تقاضا و توجه است. دستیابی به این اطلاعات در جهت برنامه‌ریزی صحیح و مطابق با محیط جوی است که در جهت رسیدن به توسعه پایدار صورت می‌گیرد. اصولاً زیست اقلیم شناسی اثر پیچیده و توانان متغیرهای آب و هوایی را بدن انسان به شکلی ساده و در قالب شاخص‌های زیست اقلیمی ارائه می‌دهد. این شاخص‌ها غالباً به صورت عددی بیان می‌گردند تا برای عموم قابل درک باشند و علاوه بر آن امکان مقایسه مکان‌های مختلف از دیدگاه زیست اقلیمی فراهم گردد (De freitas,2001,4)

در طی عمر چند دهه ای علم نوین زیست اقلیم‌شناسی انسانی بالغ بر ۲۰۰ شاخص ارائه شده است که به طور کلی می‌توان آنها را در سه دسته طبقه‌بندی کرد (اسماعیلی، ۱۳۹۰، ۳۴). دسته اول، شاخص‌های اولیه تجربی مثل شاخص عدم آسایش (تم^۱ ۱۹۵۹) سوز باد (سیپل^۲ ۱۹۴۵) و دمای محسوس

3 -Steadman

4 -Olgay

5 - Terjung

6 - Tourism Climate Index

7 - Thermo-Physiological

8 -Physiological Equivalent Temperature

9 -predict Mean Vote

10 -Standard Effective Temperature

1 -Thom

2 - Siple

(Cicenko, 1960) مدل هبیدکس و استبیدکس^۳ (de Freitas, 1985, 1990) مدل کلیما-میکل^۴ (Hoppe, 1984) ممی^۵ (Jendritzky, 1990) منکس^۶ (Blazejczyk, 1994) اشاره کرد. در این میان مدل MEMI^۷ که توسط فانگر^۸ در سال ۱۹۷۲ ابداع و تشریح شد بسیار مورد اقبال واقع شده است. این مدل برای تعیین مقادیر واقعی شارهای حرارتی و دمای بدن انسان در یک محیط معین با فرض اینکه اتصال حرارتی پوست با حرارت تولید شده توسط خون و حرارات منتقل شده از مرکز بدن به سطح پوست برابر باشد مورد استفاده قرار می‌گیرد. فانگر بر اساس این مدل، شاخص‌های حرارتی متوسط آراء پیش‌بینی شده (pmv) و پیش‌بینی درصد افراد ناراضی^۹ (ppd) را جهت کمک به مهندسین تهیه هوا در شرایط آب و هوای داخل اتاق (محیط بسته) ارائه کرد. دو دهه بعد چیندرتزکی^{۱۰} و همکارانش (۱۹۹۰) موفق شدند، روش پیچیده فانگر را با اختصاص متغیرهای مناسب Thomson et al.(2008,164) مدل MEMI جزء مدل‌های موازنۀ حرارتی ترمو-فیزیولوژیک است که به عنوان اساسی جهت بدست آوردن شاخص‌های PET, PMV, محسوب می‌گردد. جزئیات مدل MEMI بر مبنای معادله بیلان انرژی بدن انسان استوار است و معادله آن به شرح ذیل است(Hoppe;1999,72):

مقیاس زمانی ماهانه صورت گرفته است. از جمله که فعالیت‌هایی که در مقیاس زمانی روزانه و با استفاده از شاخص‌های جدید صورت گرفته می‌توان به تحقیقاتی ذوالفقاری (۱۳۸۷) اسماعیلی و همکاران (۱۳۸۹) و (اسماعیلی و همکاران، ۱۳۹۰) اشاره کرد. و تنها تحقیق صورت گرفته شده در مقیاس ساعتی مربوط به رساله پایانه (۱۳۸۴) است. هدف از تحقیق حاضر تعیین محدوده‌ای بیوکلیماتیک شهر مشهد (به عنوان دومین کلان شهر ایران و پایتخت مذهبی کشور) با استفاده از شاخص ترموفیزیولوژیک دمای معادل فیزیولوژیک در مقیاس زمانی ساعتی است.

روش شناسی

مدل بیلان انرژی بدن انسان

به استثناء عنصر گرمایی عمدتاً پاسخ انسان به اقلیم موضوعی احساسی است (دی فرتیاس: ۲۰۰۱، ۱۶) و به همین دلیل اکثر محققان اقلیم آسایشی، در گذشته روی عنصر گرمایی تاکید بیشتری داشتند. اما امروزه عقیده بر این است در ارزیابی‌های زیست اقلیم شناسی باید اثر توأم همه عناصر اقلیمی و اجزاء حرارتی محیط دخالت داده شوند. یک چنین دیدگاه‌هایی منجر به ارائه و توسعه مدل‌های بیلان انرژی بدن انسان گردید. که از اوایل دهه ۱۹۶۰، در ارزیابی آسایش حرارتی بدن انسان پیش از پیش مورد توجه قرار گرفتند. از جمله مهمترین مدل‌های که برای شرایط بیرون ارائه شده‌اند می‌توان به مدل براون و (Budyko, ۱۹۸۶)، مدل بودیکو^{۱۱}، جیلسپی^{۱۲}

3 -HEBIDEX and STEBIDEX

4 -Klima-Michel

5 -MEMI

6 -MENEX

7 - Munich Energy Balance Model for Individuals

8 -Fanger

9 - Predictive Percentage Dissatisfied

10 -Jendritzky

1 - Brone and Gillespie

2 - Budyko

انسان به n سطح همدماهی $T_m = Q + I_m$ و ضریب انتشار α تقسیم می‌شود که برای هر نسبت زاویه‌ای جسم (فاکتورهای زاویه‌ای) F_i به عنوان فاکتورهای وزنی استفاده می‌شوند. تابش موج بلند $(E_i + \alpha_k \frac{D_i}{T_m})$ و تابش موج کوتاه پراکنده (D_i) از هر یک از n سطح ساطع می‌شود (Fanger, 1972,122; Jendritzky et al. 1990,315) در داخل معادله ای به شکل زیر جهت محاسبه (T_{mrt}) استفاده می‌شود

معادله (۲)

$$T_{mrt} = \left[\frac{1}{n} \sum_{i=1}^n \left(E_i + \alpha_k \frac{D_i}{T_m} \right) F_i \right]^{0.23}$$

در این معادله:

E_i = تابش طول موج بلند

α = ضریب استفان بولتزمن برابر با

$$5.67 \times 10^{-10} \frac{W}{m^2 K^4}$$

α_p = ضریب انتشار بدن انسان (مقدار استاندارد برابر 0.97 می‌باشد)

D_i = مجموع تابش خورشیدی پخش شده و تابش جهانی انعکاسی

a_k = ضریب جذب امواج کوتاه تابیده شده به سطح بدن انسان (مقدار استاندارد برابر 0.07 می‌باشد) در صورتی که تابش مستقیم وجود داشته باشد معده T_{mrt} به T^* (T^*_{mrt}) تبدیل می‌شود:

معادله (۳)

$$T^*_{mrt} = [T_{mrt}^4 + \frac{\alpha_k D_i}{\alpha_p}]^{0.23}$$

معادله (۱)

$$M + W + R + C + E_D + E_{RE} + E_{SW} + S = 0$$

در این معادله:

M = نرخ سوخت و ساز بدن W = خروجی کار
فیزیکی R = تابش خالص بدن C = جریان حرارت همرفتی E_D = جریان حرارت نهان تبخیری آب از پوست E_{RE} = مجموع جریان‌های حرارتی موثر در گرمایش و تبخیر و تعرق E_{SW} = جریان هوای موثر در تبخیر و تعرق بدن می‌باشد. در این معادله واحد همه عبارت‌ها بر حسب وات بوده و معمولاً M مثبت و W ، E_D و E_{SW} اغلب منفی است. اگر بدن انسان در حال کسب انرژی باشد معادله تماماً مثبت و اگر در حال از دست دادن انرژی باشد عبارتهای معادله منفی خواهد بود. معادله فوق توسط متغیرهای آب و هواشناسی زیر کتترل می‌شود (HOPPE, 1999,74)(VID,1998,18).

- درجه حرارت هوا: C

- رطوبت هوا: E_{SW} , E_{RE} , E_D

- سرعت باد: E_{SW} , C

- متوسط دمای تابشی:

دسترسی به متغیرهای درجه حرارت، رطوبت نسبی هوا و سرعت باد به آسانی در دسترس می‌باشد، اما میانگین دمای تابشی (T_{mrt}) که یکی از مهمترین متغیرهای ورودی در محاسبه بیان انرژی بدن انسان است، در ایستگاه‌های هواشناسی ثبت نشده و جهت محاسبه آن باید خصوصیات مربوط به سطوح تابشی، عامل منظر و شرایط بدن انسان (نشسته یا ایستاده) مد نظر قرار گیرد. برای محاسبه (T_{mrt}) کل محیط بدن

نداشته باشد، قابل درک می‌کند. در جدول (۱) آستانه‌های عددی طبقه بنده این شاخص همراه با وضعیت توصیفی شرایط فیزیولوژیکی و حساسیت گرمایی آورده شده است. مدل ریمن جهت انجام محاسبات نیازمند چهار دسته از داده‌های می‌باشد، دسته اول، داده‌های موقعیتی شامل طول، عرض و ارتفاع محل، دسته دوم داده‌های اقلیمی شامل درجه حرارت، رطوبت نسبی، فشار بخار آب، سرعت باد و ابرناکی، دسته سوم مشخصات فردی شامل قد، وزن و جنسیت می‌باشد که بطور پیش فرض قد- ۱۷۵ سانتیمتر، وزن ۷۵ کیلوگرم و نوع جنسیت مرد در نظر گرفته شده است. و در نهایت داده‌های ترموفیزیولوژیکی، شامل میزان فعالیت و نوع پوشش که بصورت پیش فرض میزان فعالیت ۴ کیلومتر بر ساعت و ارزش نارسایی لباس ۰/۹ کیلو در نظر گرفته می‌شود (Matzarakis,2001). بنابراین امکان تنظیمات مختلف برای گروه‌های خاص (مثل گروه سنی خاص یا نوع فعالیت و پوشش‌های مختلف) نیز وجود دارد که به فراخور نیاز کاربران می‌تواند تنظیم گردد. ارزیابی صورت گرفته شده برای ساعت‌های ۶-۱۲ و UTC ۱۶ می‌باشد که مطابق با ۲۱:۳۰ و ۰۹:۳۰ به وقت محلی است. متغیرهای اقلیمی (دسته دوم داده‌ها) بر اساس مقادیر میانگین گیری شده برای دوره آماری ۲۰ ساله ۱۳۶۸-۱۳۸۷ از سازمان هواسناسی خراسان رضوی اخذ گردید. علاوه بر آن فراوانی وقوع پدیده‌های حدی و اقلیمی که بر آسایش اقلیمی و تجربه انسان از محیط آب و هوایی

در معادله فوق^۱

I* - شدت تابش خورشیدی در یک سطح عمود بر جهت تابش دریافتی
 $f_p =$ تابعی از جهت تابش دریافتی و وضع بدن انسان می‌باشد. دامنه f_p از 0° برای زاویه صفر تا 90° برای ارتفاع خورشیدی تغییر می‌کند. مشکل اساسی در رابطه با عامل زاویه f_p است. در صورت وجود سطوح بزرگتر و بدون حضور موانع افقی، تعیین کمیت f_p آسانتر است و در این صورت زاویه برخورد را می‌توان $0/5^{\circ}$ در نظر گرفت.
 محاسبه شاخص دمای معادل فیزیولوژیک محاسبه متوسط دمای تابشی یکی از مولفه‌های اساس جهت حل معادله MEMI و دستیابی به شاخص PET می‌باشد با توجه به پیچیده وقت گیر بودن محاسبات ماتزارکیس استاد موسسه هواسناسی دانشکده فرایبورگ در سال ۲۰۰۱ مدل نرم افزاری Rimen^۱ را ارائه کرد که قابلیت برآورد متوسط دمای تابشی در حد قبل قبولی در محیط‌های ساده و محیط‌های ویژه شهری داشت (Matzarakis at al,2007,56). یکی از مهمترین خروجی این مدل شاخص دمای معادل فیزیولوژیک(PET) است که از جام ترین و پرکاربردترین شاخص‌ها، جهت ارزیابی شرایط زیست اقلیمی محسوب می‌گردد. (Matzarakis:2007,146) مزیت اصلی این شاخص، ارائه برحسب واحد سلسیوس بوده که نتایج حاصل را برای استفاده کنندگان و برنامه‌ریزان بخش‌های مختلف که ممکن است آشنایی با اصطلاحات زیست اقلیمی

آمور آموزشی در صبح‌ها صورت می‌گیرد یا غالب فعالیت‌های و مسابقات ورزشی، آمور خرید و گردشگری در بعد از ظهرها و یا ساعات اوایله شب صورت می‌گیرد. بنابراین، دسترسی به اطلاعات زیست اقلیم در طی این ساعات بسیار اهیت دارد. علاوه بر آن ارقام میانگین فاقد معنای فیزیولوژیکی هستند و ممکن است ارقام بدست آمده از میانگین اصلا در محیط جوی رخ نداده باشد که مورد ارزیابی قرار گیرد. در تحلیل صورت گرفته شده ساعات ارزیابی شده به نمایندگی از بخش‌ها زمانی صبح (ساعت ۰۹:۳۰)، عصر(ساعت ۱۵:۳۰) و سر شب (ساعت ۲۱:۳۰) در نظر گرفته شده است. نتایج خروجی از مدل ریمن بر اساس طبقات تنش‌های فیزیولوژیک شاخص PET (جدول ۱) به صورت ماتریسی مشتمل بر ۳۶۵ سلول که نشان دهنده کل طول سال ارائه شده است. این شیوه ابتکاری ارائه نتایج، تحلیل و ارزیابی شرایط زیست اقلیم طول سال را بسیار آسان می‌کند (شکل ۱).

تأثیر گذار است در مقیاس زمانی ماهانه محاسبه و ارائه شده است.

جدول ۱- مقادیر آستانه شاخص PET در درجات مختلف

حساسیت انسان

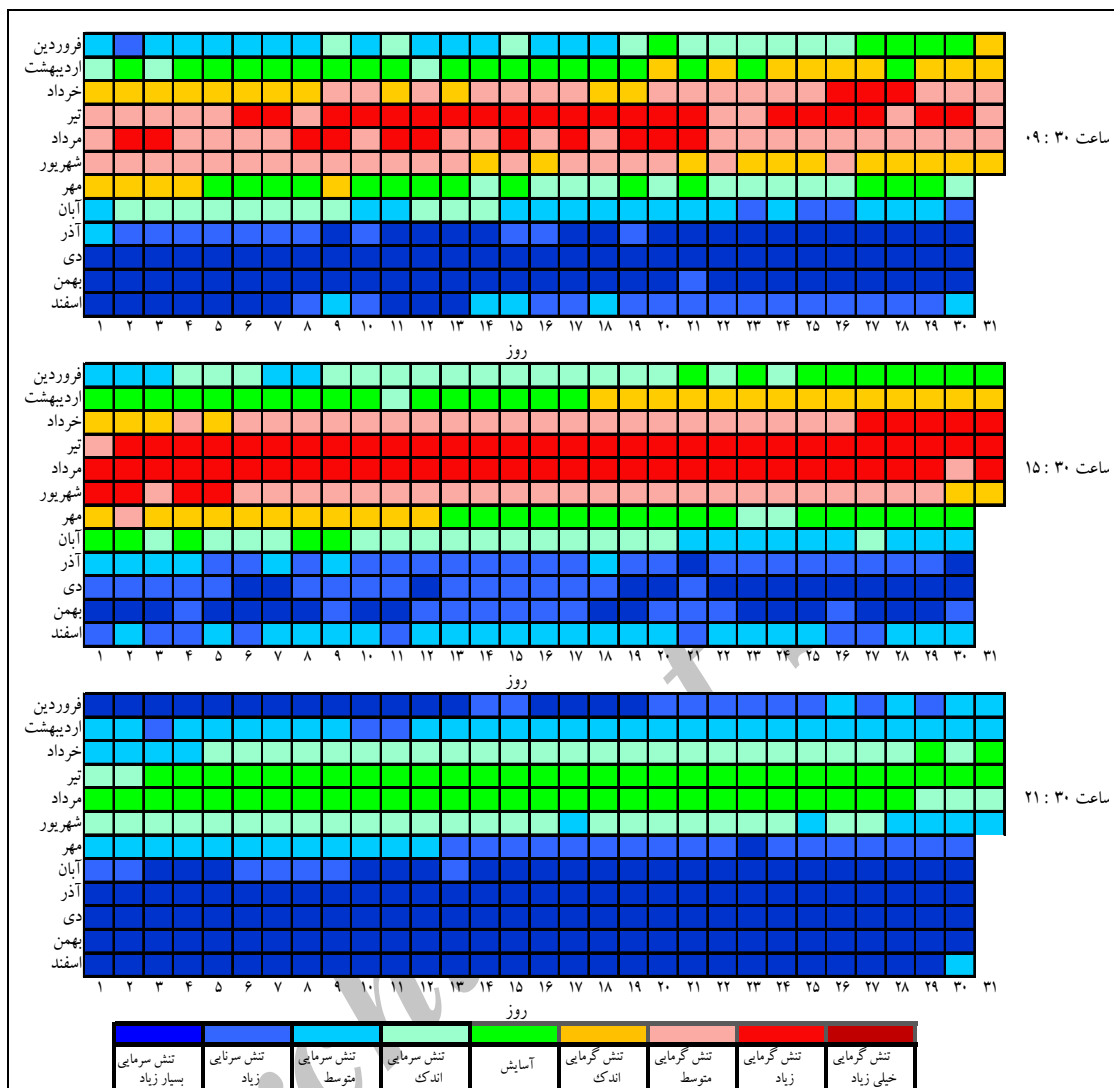
| PET °C | حساسیت گرمایی | درجه تنش فیزیولوژیکی |
|--------|---------------|-----------------------|
| ۴ | بسیار سرد | تنش سرمایی بسیار زیاد |
| ۸ | سرد | تنش سرمایی زیاد |
| ۱۳ | خنک | تنش سرمایی متوسط |
| ۱۸ | کمی خنک | تنش سرمایی اندک |
| ۲۳ | آشایش | بدون تنش |
| ۲۹ | کمی گرم | تنش گرمایی اندک |
| ۳۵ | گرم | تنش گرمایی متوسط |
| ۴۱ | داغ | تنش گرمایی زیاد |
| | بسیار داغ | تنش گرمایی بسیار زیاد |

(Matzarakis et al;1999,78)

یافته‌های پژوهش

ارزیابی ساعتی

بسیاری از استفاده کنندگان و برنامه ریزان محیطی خواهان دسترسی به اطلاعات اقلیمی و زیست اقلیمی در مقیاس زمانی ریز (مثل ساعتی) هستند تا بتوانند شرایط زیست اقلیم را برای ساعات فعالیت خود بررسی کنند. به طور مثال اکثر فعالیت‌های اداری و



شکل ۱- طبقه‌بندی شاخص PET بر اساس تنش‌های فیزیولوژیک در ساعت ۰۹:۳۰، ۱۵:۳۰ و ۲۱:۳۰ برای دوره آماری ۱۳۸۷-۱۳۶۸ شهر مشهد

پرشوار حاره‌ای (STHP) قرار می‌گیرد که باعث پایداری و خشکی هوا می‌گردد (علیجانی، ۱۳۸۱). شدیدترین تنش‌های گرمایی (PET >35) که احساس حرارتی داغ را به همراه دارد مربوط به ساعت ۱۵:۳۰ شهريور ادامه دارد (۶۹ روز از سال) دلیل وقوع چنین تنش‌های گرمایی بالایی را باید پرتوافکنی شدید خورشید به دلیل زاویه نسبتاً عمود و آسمان صاف

طبق شکل ۱ شرایط زیست اقلیم در روزهای اوایله فروردین ماه همراه با تنش‌های سرمایی است هرچند شرایط در بعد از ظهرها بدليل درجه حرارت‌های بالاتر کمی متعادل‌تر و نزدیک به شرایط آسایش کامل است. با افزایش درجه حرارت هوا وجود تنش‌های گرمایی (PET >23) نیز آغاز می‌گردد اواسط اردیبهشت ماه را باید شروع تنش‌های گرمایی در شهر مشهد دانست. طی دوره گرم سال کل ایران زیر منطقه

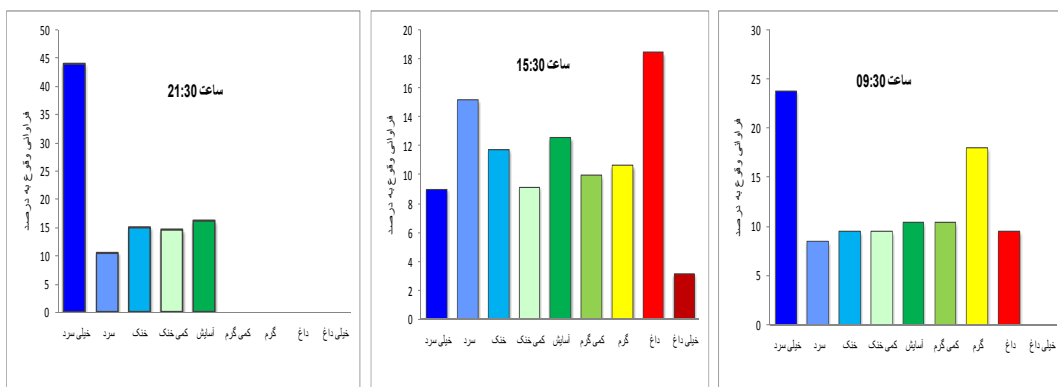
خشک به شمال شرق ایران در طی فصل سرد سال (علیجانی، ۱۳۸۱) را می‌توان باعث وجود تنش‌های سرمایی در این دوره دانست که محدودیت‌های زیست اقلیمی را به وجود می‌آورد. شدیدترین و طولانی ترین تنش‌های سرمایی (احساس حرارتی سرد و خیلی سرد) در بین ساعات بررسی شده مربوط به ساعت ۲۱:۳۰ است. طبق شکل ۲، ۴۴ درصد از شب‌های سال احساس حرارتی بسیار سرد در شهر مشهد حاکم است که بر اساس ماتریس روزانه شرایط (شکل ۱) این تنش‌ها در دو دوره توزیع شده است دوره اول در ابتدای سال تا تقریباً ۱۹ فروردین ماه و دوره دوم از ابتدای آبان شروع و تا آخر سال ادامه دارد. به استثناء دهه اول فروردین ماه، تنش‌های سرمایی در بخش زمانی صبح و عصرها در ۷ ماه اول سال دیده نمی‌شوند.

طبق شکل ۲ فراوانی غالب زیست اقلیمی شهر مشهد در صبح‌ها احساس حرارتی خیلی سرد با ۲۴ درصد و بعد از آن احساس گرم (۲۰ درصد) است. اما به طور مشخص احساس حرارتی داغ (با فراوانی ۱۹ درصد) در ساعات بعد از ظهر غالب است. همچنین تنها شرایط خیلی داغ در این ساعات رخ می‌دهد اگرچه شرایط احساس حرارتی داغ در ماتریس روزانه (شکل ۱) بدليل معدل گیری دوره ۲۰ ساله دیده نمی‌شود اما در شکل ۲ که بر اساس فراوانی وقوع در کل روزهای دوره محاسبه شده است ۲۳ درصد را نشان می‌دهد.

دانست که باعث ثبت دمای حداکثری همراه با فشار بخار آب پایین در این ساعت می‌گردد. تنش‌های گرمایی (متوسط و زیاد) در صبح‌ها به صورت پراکنده در تیر و مرداد ماه (۲۹ روز از سال) وجود دارد. اما در شب‌ها بدليل عدم وجود تابش خورشیدی که بشدت متوسط دمای تابشی را بالا می‌برد (Hoppe and Mayer, 1999, 79) تنش‌های گرمایی در هیچ یک از روزهای سال دیده نمی‌شود. روزهای همراه با آسایش کامل اقلیمی (PET <۲۳</۲۳>) صبح‌ها (ساعت ۱۵:۳۰) و بعد از ظهرها (ساعت ۱۵:۳۰) در دو بازه زمانی واقع شده است دوره اول آن در اوایل فصل بهار و به طور متوسط ازدهه دوم فروردین ماه آغاز و تا ۲۰ اردیبهشت ماه تداوم دارد.

تعداد روزهای همراه با آسایش اقلیمی طی این دوره بترتیب ۲۴ و ۲۵ روز برای صبح‌ها و عصرها بدست آورده شده است. دوره دوم آسایش اقلیمی بعد از سپری شدن فصل گرم سال و به صورت پراکنده در طی مهر ماه اتفاق می‌افتد تعداد این روزهای برای صبح‌ها ۱۴ و برای عصرها ۲۱ روز می‌باشد که نسبت به دوره ابتدای سال کوتاه‌تر است. اما شرایط در ساعات ۲۱:۳۰ کاملاً متفاوت است. دوره آسایش اقلیمی به صورت یک دوره ممتد ۵۹ روز در طی ماههای تیر و مرداد ماه اتفاق می‌افتد.

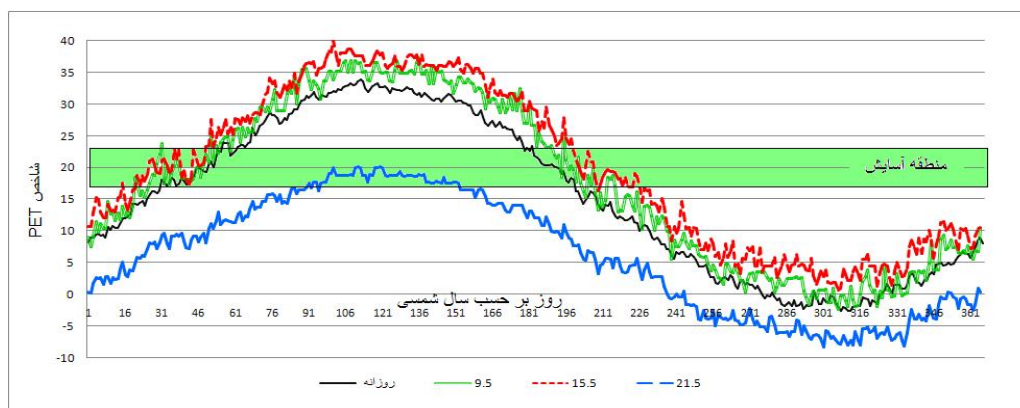
با نزدیک شد به فصل سرد سال تنش‌های سرمایی (PET <۱۸</۱۸>) ظاهر می‌گردد. نفوذ زبانه‌های پرفشار ترمو دینامیکی سیبری و ریزش هوای سرد و



شکل ۲ - فراوانی وقوع شاخص PET بر اساس طبقه بندی احساس حرارتی در ساعت ۰۹:۳۰، ۱۵:۳۰ و ۲۱:۳۰ دوره آماری ۱۳۸۷-۱۴۰۰ شهر مشهد

گرمایی نیز شروع می‌شوند. بالاترین تنش‌های گرمایی مربوط به منحنی ساعت ۱۵:۳۰ بعد از ظهر هاست و در زیر آن بترتیب منحنی ساعت ۰۹:۳۰ و سپس میانگین روزانه و در نهایت منحنی ساعت ۲۱:۳۰ قرار دارد بیشترین اختلاف این منحنی با ساعت دیگر در فصل گرم سال دیده می‌شود. بنظر می‌رسد به دلیل دخالت داده دماهای حداقلی و حداکثری منحنی روزانه شرایطی شبیه به منحنی ساعت ۰۹:۳۰ دارد. به استثناء منحنی ساعت ۲۱:۳۰ بر قراری شرایط آسایش به عنوان یک دوره کوتاه و زود گذر در عبور از فصل سرد به دوره گرم سال و بالعکس حادث می‌شود. به تبعیت از روند تغییرات درجه حرارت هوا نقطه اوج منحنی PET در تیر ماه و نقطه کمینه آن در دی ماه واقع شده است یک چنین الگویی در منحنی سالانه درجه حرارت کشور نیز دیده می‌شود (مسعودیان و کاویانی، ۱۳۸۷).

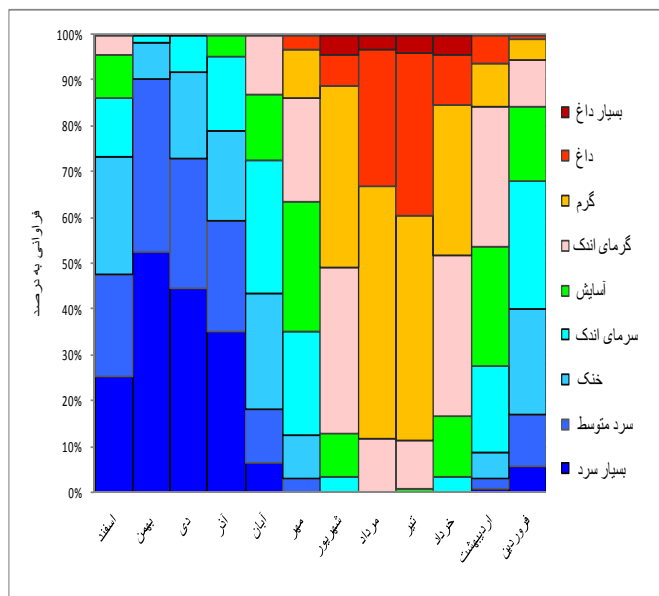
در شکل ۳ روند تغییرات شاخص PET در ساعت ۰۹:۳۰، ۱۵:۳۰، ۲۱:۳۰ و همچنین میانگین شبانه روزی آن نشان داده شده است. پر طبق جدول ۱ محدوده عددی ۱۸ الی ۲۳ درجه سانتیگراد شاخص به عنوان منطقه آسایش(بدون تنش) است که به صورت‌های لایت نشان داده شده است. به طور مشخص روند تغییرات شاخص PET در طول سال حالتی نوسانی دارد که نقطه اوج آن که همراه با مقادیر بالای شاخص (اعداد بالای ۳۵ درجه) و احساس حرارتی گرم و داغ است از اواسط ماه خرداد شروع و تا اواسط شهریور ماه ادامه دارد. نقطه کمینه این منحنی در اوسط دی ماه قرار دارد. اگر چه چند روز اول فروردین ماه همراه با تنش‌های سرمایی است اما نمودار شاخص PET در زیر منطقه آسایش است اما از اواسط فروردین تا تقریباً تا اوایل خرداد ماه در منطقه آسایش قرار دارد. با گرمتر شدن هوا تنش‌های



شکل ۳ - روند تغییرات شاخص PET برای ساعت ۰۹:۳۰، ۱۵:۳۰، ۲۱:۳۰ و وضعیت آسایش اقلیمی (۱۸<PET>۲۳) با رنگ سبز نشان داده شده است

مولفه‌های حرارتی (شامل آسایش دمایی، استرس سرمایی و گرمایی) و مولفه‌های زیبا شناختی از قبیل ابرناکی و مه همچنین مولفه‌های فیزیکی از قبیل سرعت باد، بارندگی و یخبندان بر اساس آستانه‌های تعريف شده در جدول ۲ محاسبه و نتایج آن در شکل ۵ نشان داده شده است. همه محاسبات در محیط اکسل ۲۰۰۷ و در مقیاس زمانی ماهیانه صورت گرفته است. یکی از مهمترین بخش‌هایی که شدیداً به شرایط اقلیمی و جوی وابسته است و نیاز مبرم به اطلاعات جامع زیست اقلیم دارد بخش گردشگری است. با توجه به این که مشهد یکی از قطب‌های گردشگری کشور محسوب می‌گردد این اطلاعات می‌تواند مورد استفاده برنامه‌ریزان و دست اندکاران این بخش قرار گیرد. و براساس فراوانی و احتمال وقوع هر یک از پدیده، تمهیدات لازم در نظر گرفته شود (به طور مثال احتمال مواجه شدن با بارندگی، یخبندان یا تنش‌های فیزیولوژیکی).

فراوانی وقوع پدیده‌های موثر بر آسایش اقلیمی اگر چه اطلاعات منفرد اقلیمی (از قبیل درجه حرارت، رطوبت نسبی، سرعت باد وغیره) و یا اثر ترکیبی پارامترهای جوی از قبیل آسایش حرارتی و شاخص‌های زیست اقلیمی بسیار مورد توجه و استفاده کنندگان اطلاعات زیست اقلیمی می‌باشد، اما کماکان در ارزیابی سیستماتیک اثر جو و پارامترهای آن بر انسان دارای محدودیت‌هایی هستند. ازینرو لازم است همراه با اطلاعات زیست اقلیمی، اطلاعات تکمیلی دیگری همچون مولفه‌های فیزیکی و زیبا شناختی نیز در نظر گرفته شوند تا به ارزیابی جامعی از شرایط زیست اقلیمی دست یابیم (De freitas, 1990). شکل ۴ فراوانی وقوع هر یک از طبقات احساس حرارتی شاخص PET (جدول ۱) و توزیع آنها را در مقیاس ماهیانه نشان می‌دهد. طبق این شکل تنش‌های سرمایی ویژگی غالب شهر مشهد است. علاوه بر آن بر فراوانی وقوع هر یک از



شکل ۴- دیاگرام فراوانی وقوع طبقات احساس حرارتی شاخص PET

بر حسب مقاس زمانی ماهانه شهر مشهد دوره آماری ۱۳۸۷-۱۳۶۸

جدول ۲- پدیده‌های تاثیر گذار بر آسایش اقلیمی و آستانه‌های هر کدام (Matzarakis,2007)

| مولفه | تعریف | محقق |
|-----------------|--|-------------------------------------|
| آسایش اقلیمی | $18^{\circ}\text{C} < \text{PET} < 29^{\circ}\text{C}$ | Matzarakis ,2007 |
| استرس سرمایی | $\text{PET} < 8^{\circ}\text{C}$ | Matzarakis ,2007 |
| استرس گرمایی | $\text{PET} > 35^{\circ}\text{C}$ | Matzarakis and Mayer, 1996 |
| روز داغ | $\text{PET} > 41^{\circ}\text{C}$ | Matzarakis and Mayer, 1996 |
| روز طوفانی | Wind speed $> 8 \text{ m/s}$ | Besancenot,1990, Gomez martin, 2004 |
| روز مرطوب | Precipitation $> 5 \text{ mm}$ | Matzarakis ,2007 |
| روز آفتابی | Sky cover $< 5/8$ | Gomez martin, 2004 |
| روز همراه با مه | Relative humidity $> 93\%$ | Matzarakis ,2007 |
| روز بارانی | Precipitation $> 1 \text{ mm}$ | Matzarakis ,2007 |



شکل ۵- احتمال وقوع پدیده‌های موثر بر آسایش اقلیمی شهر مشهد برای دوره ۱۳۸۷-۱۳۶۸

- نتیجه‌گیری

طی سال حالتی گوسی دارد در ابتدای سال منحنی‌های PET در زیر منطقه آسایش قرار دارد (دارای تنش سرمایی) تقریباً از اواسط فروردین تا اوایل خداداد ماه در منطقه آسایش اقلیمی قرار می‌گیرد. تقریباً او خداداد ماه تنش‌های گرمایی آغاز می‌گردد. بالاترین تنش‌های گرمایی (PET >41) در بعد از ظهرهای تیر ماه رخ می‌دهد. با کاسته شدن از گرمای هوا منحنی شاخص PET حالتی نزولی به خود می‌گیرد و بعد از عبور از منطقه آسایش تقریباً از اواسط آبان ماه تنش‌های سرمایی آغاز می‌گردد که تا انتهای سال تداوم دارد. کمترین مقادیر شاخص در منحنی سالانه (شکل ۳) در طی ساعت‌بررسی شده مربوط به ساعت ۲۱:۳۰ است که با اختلاف ۵ الی ۱۰ درجه سانتیگرادی در زیر بقیه منحنی‌ها قرار دارد. بیشترین این اختلاف مربوط به فصل تابستان است. با توجه به تداوم و شدت تنش‌های سرمایی در طی فصل سرد سال به نظرمی رسید عملده ترین محدودیت زیست اقلیمی شهر مشهد طی ساعت‌بررسی شده، وجود تنش‌های سرمایی بسیار زیاد و طولانی است. همچنین وجود تنش‌های گرمایی طی ماههای تیر و مرداد که در بعداز ظهرها احساس حرارتی داغ و گاهآ بسیار داغ را به وجود می‌آوردد عملده ترین محدودیت زیست اقلیم دوره گرم سال است. همچنین بررسی احتمال وقوع پدیده موثر بر آسایش اقلیمی نشان می‌دهد بیشترین احتمال روزهای آسایش در مهر ماه واقع شده است (با احتمال ۵۰ درصد) و کمترین آن مربوط به آذر، دی و بهمن ماه (احتمال ۵ درصد) است. بیشترین احتمال وقوع استرس سرمایی (PET <8) با احتمال ۸۰ درصد

بر این اساس نتایج به دست آمده، دوره آسایش اقلیمی شهر مشهد در دو بازه زمانی مجزا از همدیگر قرار دارد دوره اول در ابتدای فصل بهار و دوره دوم آن در انتهای دوره گرم و همزمان با آغاز دوره سرد می‌باشد که تعداد روزهای آسایش در دوره اول بیشتر است. در طی ساعت‌بررسی شده بیشترین فراوانی وقوع شرایط همراه با آسایش شهر مشهد، با ۵۹ روز از کل سال مربوط به ساعت ۲۱:۳۰ است که بر خلاف ساعت‌صبح و عصر به صورت پیوسته در طی ماههای تیر و مرداد رخ می‌دهد. نکته قابل توجه تفاوت فاحش در شرایط زیست اقلیمی در فصل گرم سال (ماههای خردا، تیر، مرداد و شهریور) است، در شرایطی که نتایج ارزیابی شرایط صبح‌ها و به خصوص عصرها را همراه با تنش‌های گرمایی زیاد نشان می‌دهد، ساعت سر شب (۲۱:۳۰) طی این مدت در بهترین شرایط زیست اقلیم قرار دارد. همچنین تعداد روزهای همراه با آسایش برای ساعت‌های ۰۹:۳۰ و ۱۵:۳۰ بترتیب ۳۸ و ۴۶ روز بدست آورده شده است. بیشترین تنش‌های سرمایی با ۴۴ درصد فراوانی (۱۶۰ روز) مربوط به ساعت ۲۱:۳۰ شب می‌باشد و رتبه دوم با ۲۴ درصد (۸۷ روز) مربوط به ساعت ۰۹:۳۰ صبح است. بدلیل وقوع دماهای حداکثری در بعد از ظهرها بیشترین تنش‌های گرمایی با ۱۹ درصد فراوانی (۶۹ روز) در این زمان از روز رخ می‌دهد. همچنین تنها شرایط خیلی داغ (با فراوانی ۲.۳ درصد) در طی این ساعت از روز اتفاق می‌افتد. روند تغییرات منحنی‌های شاخص PET در

- اقلیم شناسی دانشگاه اصفهان، به راهنمای دکتر کاویانی و دکتر غیور ذوالفقاری، حسن، (۱۳۸۶)، تعیین تقویم زمانی مناسب گردشگری در تبریز با استفاده از شاخص‌های PMV و PET، پژوهش‌های جغرافیایی، شماره ۶۲ صص ۱۴۱-۱۲۹
- فرج‌زاده، منوچهر، احمد آبادی، علی، (۱۳۸۹)، ارزیابی و پنهانه‌بندی اقلیم گردشگری ایران با استفاده از شاخص اقلیم گردشگری TCI، پژوهش‌های جغرافیایی طبیعی، شماره ۷۱ صص ۳۱-۴۲
- علیجانی، بهلول، (۱۳۸۱)، آب و هوای ایران، انتشارات پیام نور، چاپ ینجم
- کاویانی، محمد رضا، (۱۳۷۲)، بررسی نقشه زیست اقلیم انسانی ایران، فصلنامه تحقیقات جغرافیایی، شماره ۲۷
- کسمایی، مرتضی، (۱۳۶۹)، اقلیم و معماری، نشر خاک، اصفهان، فصل دوم ص ۱۵-۱۳.
- مسعودیان، ابوالفضل، کاویانی، محمد رضا، (۱۳۸۷)، اقلیم شناسی ایران، انتشارات دانشگاه اصفهان
- Blazejczyk K (1994) New climatological-and-physiological model of the human heat balance outdoor (MENEX) and its applications in bioclimatological studies in different scales. [in:] Blazejczyk K, Krawczyk B, Bioclimatic research of the human heat balance. Zeszyty IGIPZ PAN, 28 pp. 27-58.
- Brown R D, Gillespie T J (1986) Estimating outdoor thermal comfort using a cylindrical radiation thermometer and an energy budget model. Int J Biometeorol, 30, 1: 43-52.

مربوط به دی و بهمن ماه است. در مقابل احتمال وقوع استرس گرمایی (PET>35) با ۴۰ درصد مربوط به تیر و مرداد ماه می‌باشد. طبق نتایج ارائه شده در ۹۰ شکل ۵، طی ۵ ماه از سال (خردماه) به احتمال ۹۰ درصد روزها همراه با شرایط آفتابی خواهد بود. یشترين احتمال وقوع يخندان مربوط به بهمن ماه با احتمال ۸۰ درصد است. وبالاترین احتمال وقوع بارندگی با ۳۰ درصد مربوط به ماههای بهمن و اسفند است.

منابع

- اسماعیلی، رضا، ۱۳۹۰، پنهانه‌بندی اقلیم آسایشی کشور با استفاده از شاخص دمای معادل فیزیولوژیک، رساله دکتری اقلیم شناسی، دانشگاه آزاد اسلامی واحد نجف آباد، به راهنمایی دکتر گندمکار و دکتر منتظری
- اسماعیلی، رضا، گندمکار، امیر، حبیبی نوختن، مجید، ۱۳۹۰، ارزیابی اقلیم آسایشی چند شهر اصلی کشور با استفاده از شاخص دمای معادل فیزیولوژیک، مجله پژوهش‌های جغرافیایی طبیعی، شماره ۷۵، بهار ۱۳۹۰
- اسماعیلی، رضا، صابر حقیقت، اکرم، ملبوسی، شراره، ۱۳۸۹، ارزیابی شرایط اقلیم آسایشی بندر چابهار در جهت توسعه گردشگری، مجموعه مقالات چهارمین کنگره جغرافیدانان جهان اسلام، بهار ۱۳۸۹
- پاینده، نصرالله، (۱۳۸۴)، پنهانه‌بندی دمای مؤثر در سطح کشور با تأکید بر جغرافیایی نظامی، رساله دکتری

- Komponente im Bioklima des Menschen, ARL Hannover, 114, pp. 7-69.
- Jendritzky, G Birger Tinz(2009), The thermal environment of the human being on the global scale, Global Health Action 2009. 2009 Gerd Jendritzky and Birger Tinz. This is an Open Access article distributed under the terms of the Creative Commons Attribution-Noncommercial 3.0 Unported License
- Lin ,Tzu-Ping and Andreas Matzarakis (2011), Tourism climate information based on human thermal perception in Taiwan and Eastern China, Journal of Tourism Management, 32 (2011) 492-500
- Lin, T. P and Richard de Dearb and Ruey-Lung Hwangc. (2010). Effect of thermal adaptation on seasonal outdoor thermal comfort. INTERNATIONAL JOURNAL OF CLIMATOLOGY Int. J. Climatol. (2010) Published online in Wiley InterScience
- Matzarakis, A., 2007: Assessment method for climate and tourism based on daily data. In: A. Matzarakis, C. R. de Freitas, D. Scott (Eds.), Developments in Tourism Climatology, 52-58
- Matzarakis, A. (2001).Climate and Bioclimatic Information for the Tourism in Greece. Proceedings of the 1st International workshop on climate, tourism and recreation. International society of biometeorology, commission on climate, tourism and recreation. 171-182
- Matzarakis, A., Mayer, H., & Iziomon, M. G. (1999). Applications of a universal thermal index: physiological equivalent temperature. International Journal of Biometeorology, 43, 76e84
- Matzarakis, A., Rutz, F., Mayer, H., (2007) Modelling radiation fluxes in simple and complex environments—application of the RayMan model. International Journal of Biometeorology 51, 323-334.
- Mieczkowski, Z. (1985). The tourism climate index: a method for evaluating world climates for tourism. The Canadian Geographer, 29, 220e233.
- Budyko M I, Cicenko G V (1960) Climatic factors of thermal sensations in humans. (in Russian), Izv AN SSR, Geogr, 3: 3-11.
- de Freitas, C.R. (2001) Theory, concepts and methods in climate tourism research. Proceedings ofthe first international workshop on climate, tourism and recreation. (Ed.) A. Matzarakis and C.R. de Freitas. International Society of Biometeorology, Commission on Climate Tourism and Recreation. 3-20
- de Freitas C R (1985) Assessment of human bioclimate based on thermal response. Int J Biometeorol, 29: 97-119.
- Fanger, P. O. (1972). Thermal comfort. New York: McGraw Hill.
- Gagge, A. P., Fobelets, A. P., & Berglund, L. G. (1986). A standard predictive index of human response to the thermal environment. ASHRAE Transactions, 92,709e731.
- Gulya sa, Agnes , Ja nos Unera, Andreas Matzarakis(2006), Assessment of the microclimatic and human comfort conditions in a complex urban environment: Modelling and measurements, journal of Building and Environment 41 (2006) 1713–1722
- Höppe P (1984) Die Energiebilanz des Menschen. Wiss Mitt Met Inst Univ Munchen, 49.
- Hoppe P (1999) The Physiological Equivalent Temperature-aUniversal Index for the Biometeorological Assessment of the Thermal Environment. Int. J.Biometeorology. 43:71-75.
- Hwang, Ruey-Lung, Tzu-Ping Lin b, Andreas Matzarakis(2010) Seasonal effects of urban street shading on long-term outdoor thermal comfort , journal of Building and Environment, doi:10.1016/j.buildenv.2010.10.017
- Jendritzky G (1990) Bioklimatische Bewertungsgrundlage der Räume am Beispiel von mesoskaligen Bioklimakarten, [in:] Schirmer H (ed), Methodik zur räumlichen Bewertung der thermischen

- Thom EC (1959) The discomfort Index. Weatherwise 12:57–60
- VDI (1998) Methods for the human-biometeorological assessment of climate and air hygiene for urban and regional planning. Part I: Climate. VDI guideline 3787. Part 2. Beuth, Berlin
- Thomson, Madeleine C. Garcia-Herrera Ricardo, Beniston Martin (2008) Seasonal forecasts, climatic change and human health: health and climate , Springer Science + Business Media B.V,232 pages
- Thorsson, Sofia , Maria Lindqvist ,Sven Lindqvist (2004), Thermal bioclimatic conditions and patterns of behaviour in an urban park in G_teborg, Sweden , International Journal of Biometeorology, 48:149–156
- Vanos , Jennifer K & Jon S. Warland & Terry J. Gillespie , Natasha A. Kenny(2010), Review of the physiology of human thermal comfort while exercising in urban landscapes and implications for bioclimatic design, International Journal of Biometeorology, 54:319–334
- VDI. (1998). Methods for the human biometeorological evaluation of climate and air quality for the urban and regional planning. Part I: Climate. VDI guideline 3787. Part 2. Berlin: Beuth.
- Moreno, Alvaro and Amelung, Bas(2009) 'Climate Change and Tourist Comfort on Europe's Beaches in Summer: A Reassessment', Coastal Management, 37: 6, 550 — 568, First published on: 01 November 2009 (iFirst)
- Nielsen B, Kassow K, Aschengreen F E (1988) Heat balance during exercise in the sun.Europ J Appl Physiolog, 58: 189-196.
- olgay,v,1973,design with climate ,Princeton university press.,p.185
- Siple PA, Passel CF (1945) Measurements of dry atmospheric cooling in subfreezing temperatures. Proc Am Philos Soc 89:177–199
- Shiue, Ivy and Andreas Matzarakis, Estimation of the tourism climate in the Hunter Region, Australia, in the early twenty-first century, International journal of biometeorology DOI 10.1007/s00484-010-0369-2
- Spagnolo J, de Dear R(2003)A field study of thermal comfort in outdoor and semi-outdoor environments in subtropical Sydney Australia. Building and Environment;38:721–38.
- Steadman, R. G. (1979). The assessment of sultriness. Part I. A temperature humidity index based on human physiology and clothing science. Journal of Applied Meteorology, 18, 861e873
- Terjung, W.H.1968., World Patterns of the Monthly Comfort Index. International journal of biometeorology, vol., 12, n. 2, pp. 119 –123, 141.